

## ЭКСПЕРИМЕНТАЛЬНОЕ ИССЛЕДОВАНИЕ ЭФФЕКТА ОБРАЗОВАНИЯ ЗАРЯЖЕННОЙ ЧАСТИЦЫ С НЕРАВНОВЕСНЫМ СОБСТВЕННЫМ ПОЛЕМ

О.Д. Безниско, А.С. Белоусов, В.Г. Зверев, В.М. Земсков, Е.И. Малиновский,  
Ю.В. Озеров, А.Р. Теркулов, А.М. Фоменко

УДК 539.12

При помощи сцинтилляционного детектора ионизационных потерь на пучке "меченых" гамма-квантов экспериментально обнаружено состояние позитрона с неравновесным собственным полем. Длина пути, проходимого позитроном с энергией 340 МэВ в этом состоянии, составляет  $6,0 \pm 1,5$  мкм.

В работе /1/ было обращено внимание на тот факт, что возможно существование электрона (позитрона), в значительной мере лишенного своего "нормального" электромагнитного поля. Частица, находящаяся в этом состоянии, не ионизирует вещество. Там же отмечалось, что эффект образования электрона с неравновесным собственным полем следует искать в процессах с перераспределением периферического поля, т.е. в процессах излучения.

Для экспериментального обнаружения этого эффекта использовалась система "мечения" синхротрона "Пахра" /2/, позволяющая формировать пучок монохроматических гамма-квантов в интервале энергий  $10 \div 600$  МэВ. Метод "меченых" фотонов заключается в следующем. При прохождении мишени позитрон может испускать тормозной квант. Если выделять события, для которых известна энергия позитрона до ( $E_1$ ) и после ( $E_2$ ) взаимодействия с мишенью, то для таких событий может быть определена энергия испущенного гамма-кванта

$$E_\gamma = E_1 - E_2. \quad (1)$$

Для обнаружения состояния позитрона с неравновесным собственным полем в качестве мишени использовался спектрометр на основе монокристалла CsI(Tl) толщиной  $t_M = 1$  мм, измеряющий ионизационные потери позитронов (ИПП), и проводился цикл из трех измерений:

а) измерялась величина  $\delta_\gamma$ , характеризующая ИПП с энергией  $E_1$ , испустивших тормозной гамма-квант с энергией  $E_\gamma$  в мишени (при этом накладывалось дополнительное условие: образованный гамма-квант должен быть зарегистрирован черенковским спектрометром полного поглощения (ЧСПП) толщиной 12 р.е., порог регистрации которого устанавливался равным  $0,5 E_\gamma$ ).

б) измерялась величина  $\xi_{E_2}$ , характеризующая ИПП с энергией  $E_2$ , прошедших через мишень без испускания тормозного гамма-кванта (для этого магнитные спектрометры, измеряющие энергию позитрона на входе ( $E_1$ ) и выходе ( $E_2$ ) мишени, настраивались на выделение позитронов одной и той же энергии  $E_2$ );

в) измерялась величина  $\xi_{E_1}$ , характеризующая ИПП с энергией  $E_1$  в мишени (для этого магнитный спектрометр, измеряющий энергию позитронов на выходе мишени, настраивался на выделение позитронов с энергией  $E_1$ ).

Для увеличения надежности отбора событий, не сопровождающихся испусканием тормозного излучения в мишени, при измерении величин  $\xi_{E_1}$  и  $\xi_{E_2}$  накладывалось условие: в ЧСПП должны отсутствовать гамма-кванты с энергией более 10 МэВ.

В каждом измерении проводился амплитудный анализ сигналов с детектора, служившего мишенью. Полученные распределения описывались выражением:

$$R(x) = \int_0^{\infty} F(\Delta) K(x, \Delta) d\Delta, \\ F(\Delta) = \xi^{-1} \Phi([\Delta - \Delta_0]/\xi), \quad (2)$$

где  $\Phi(\lambda)$  – безразмерная табулированная функция Ландау /3/;  $\Delta_0$  характеризует наиболее вероятные ИПП в мишени;  $K(x, \Delta)$  – функция, описывающая энергетическое разрешение спектрометра. В качестве ионизационных потерь позитронов ( $\xi_{\gamma}$ ,  $\xi_{E_1}$ ,  $\xi_{E_2}$ ) было взято значение  $\Delta_0$ , получаемое в результате решения интегрального уравнения (2) методом наименьших квадратов. При статистике  $N = 10^4$  относительная погрешность в определении величины  $\xi$  составляла 0,35%; при  $N = 10^5$  она уменьшается до 0,12%.

Периодические измерения величины  $\xi_{E_2}$  показали, что существует временной дрейф положения пика ионизационных потерь, причем первые 4 часа после включения аппаратуры положение пика меняется со скоростью 1,4% в час, а затем скорость дрейфа уменьшается до 0,3% в час. Для уменьшения влияния этого явления эксперименты проводились через 4 часа после включения аппаратуры. Для корректного учета временной нестабильности спектрометрического тракта поиск эффекта проводился сериями измерений, продолжительностью не более 3-х часов, в начале и конце которых измерялись величины  $\xi_{E_1}$  и  $\xi_{E_2}$  (статистика событий составляла  $10^5$ ), а 80% времени уходило на измерение величины  $\xi_{\gamma}$  (статистика составляла  $2 \div 4 \cdot 10^4$ ). Дополнительные измерения показали, что за 3 часа наблюдения зависимость положения пика от времени линейна, поэтому усредненные значения  $\xi_{E_1}$  и  $\xi_{E_2}$  определялись по формуле  $\xi = 0,5 (\xi_n + \xi_k)$ , где  $\xi_n$  и  $\xi_k$  – значения

величин, измеренных в начале и конце серии.

В результате сопоставления  $\varepsilon_{E_1}$  и  $\varepsilon_{E_2}$  было установлено, что данный детектор позволяет измерить логарифмический рост ИПП. При переходе от энергии 340 к 640 МэВ ИПП возрастают на  $0,58 \pm 0,10\%$ .

С помощью выражения  $\varepsilon_0 = 0,5(\varepsilon_{E_1} + \varepsilon_{E_2})$ , справедливость которого подтверждается моделированием методом Монте-Карло процесса образования "меченого" гамма-кванта, определялась величина  $\varepsilon_0$ , характеризующая ИПП для случая, когда происходит изменение его энергии, но не обозначается позитрон с неравновесным собственным полем.

На основании измеренных в данной серии величин определялась величина  $Q = (\varepsilon_\gamma - \varepsilon_0)/\varepsilon_0$ , характеризующая изменение ИПП, обусловленное образованием "полуголого" позитрона. На рис. 1 приведены результаты измерения величины  $Q$  для позитронов с энергиями  $E_1 = 390, 440, 640$  МэВ, испустивших гамма-кванты с энергиями  $E_\gamma = 50, 100, 300$  МэВ соответственно.

Оценки показали, что при наших условиях зависимость величины  $Q$  от энергии гамма-кванта слабая и в указанном диапазоне ожидаемые значения  $Q$  отличаются не более чем на 25%. Поэтому результаты, полученные для различных энергий и в различных сериях, были усреднены.

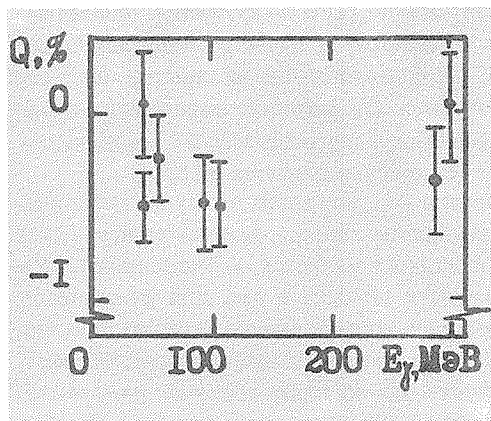


Рис. 1. Изменение ионизационных потерь позитронов, излучивших тормозные гамма-кванты.

В итоге обнаружен эффект уменьшения ионизационных потерь позитронов на уровне 4-х стандартных отклонений:  $\bar{Q} = -0,36 \pm 0,09\%$ . Совпадение величины среднеквадратичного отклонения распределения  $Q_i$  ( $S = 0,24\%$ ) со статистической точностью измерения этой величины ( $\Delta\bar{Q} = 0,25\%$ ) свидетельст-

вует о том, что разброс экспериментальных значений обусловлен статистической точностью эксперимента, т.е. о корректности учета временной нестабильности спектрометрического тракта.

Так как величина вероятных ионизационных потерь пропорциональна толщине мишени, расчет длины пути позитрона с неравновесным полем производится по формуле:  $L = -Qt_M$ .

Учитывая тот факт, что 40% гамма-квантов, выделенных системой "мечения", рождаются вне спектрометра получаем, что если зарегистрированное уменьшение ионизационных потерь обусловлено образованием частицы с неравновесным собственным полем, то позитрон с энергией 340 МэВ, испускаящий гамма-квант с энергией 50  $\div$  300 МэВ, в этом состоянии проходит путь длиной  $6,0 \pm 1,5$  мкм.

Поступила в редакцию 15 января 1985 г.

#### ЛИТЕРАТУРА

1. Файнберг Е.Л. УФН, 132, вып. 2, 255 (1980).
2. Белоусов А.С. и др. Препринт ФИАН № 186, М., 1979.
3. Landau L.D. Journ. Phys., 8, 201 (1944).